

ІЗУЧЕННЯ ДИНАМІКИ РЕГЕНЕРАЦІИ КОСТНИХ ДЕФЕКТОВ АЛЬВЕОЛЯРНОГО ОТРОСТКА С ИСПОЛЬЗОВАНИЕМ АУТОЛОГІЧНИХ СТВОЛОВЫХ КЛЕТОК КОСТНОГО МОЗГА ЖИВОТНИХ

Проф. В. Ф. Куцевляк, проф. В. И. Куцевляк, канд. бiol. наук Е. А. Омельченко*,
А. С. Забирник*, И. В. Цыганова

Харківська медична академія післядипломного обов'язкового навчання,
*Лабораторія «Вирола», м. Харків

Изучены особенности динамики регенерации костных дефектов нижней челюсти на 16 кроликах породы Шиншилла. Вводили аутологичные стволовые клетки, полученные из костного мозга, в сочетании с коллапаном в зону дырчатого дефекта размером 3 × 3 мм в количестве 100 тыс., 500 тыс., 1 млн. Установлено, что направленная регенерация костных дефектов нижней челюсти экспериментальных животных с введением 500 тыс. стволовых клеток, полученных из костного мозга, протекает наиболее благоприятно, без очагового некроза и зон секвестрирования, по сравнению с введением 100 тыс. и 1 млн тех же стволовых клеток. Следовательно, для восстановления дефектов костной ткани целесообразно использовать не более 500 тыс. стволовых клеток, полученных из костного мозга.

Ключевые слова: направленная регенерация, аутологичные стволовые клетки, костный мозг, коллапан.

ВИВЧЕННЯ ДИНАМІКИ РЕГЕНЕРАЦІЇ КІСТКОВИХ ДЕФЕКТИВ АЛЬВЕОЛЯРНОГО ВІДРОСТКА З ВИКОРИСТАННЯМ АУТОЛОГІЧНИХ СТОВБУРОВИХ КЛІТИН КІСТКОВОГО МОЗКУ ТВАРИН

Проф. В. Ф. Куцевляк, проф. В. И. Куцевляк,
канд. бiol. наук О. А. Омельченко*,
А. С. Забірник*, І. В. Циганова

Вивчено особливості динаміки регенерації кісткових дефектів нижньої щелепи на 16 кроликах породи Шиншила. Уводили аутологічні стовбурові клітини, отримані з кісткового мозку в поєднанні з коллапаном у зону дірчастого дефекту розміром 3 × 3 мм в кількості 100 тис., 500 тис., 1 млн. Установлено, що направлена регенерація кісткових дефектів нижньої щелепи в експериментальних тварин з уведенням 500 тис. стовбурових клітин, отриманих із кісткового мозку, має найсприятливіший перебіг, без осередкового некрозу та зон секвестрування, порівняно з уведенням 100 тис. і 1 млн тих же стовбурових клітин. Отже, для відновлення дефектів кісткової тканини доцільно використовувати не більше 500 тис. стовбурових клітин, отриманих із кісткового мозку.

Ключові слова: направлена регенерация, аутологичні стовбурові клітини, кістковий мозок, коллапан.

THE REGENERATIVE DYNAMICS OF ALVEOLAR BONE IN THE USE OF AUTOLOGOUS STROMAL CELLS WITH KOLLAPAN MATRIX IN EXPERIMENTAL ANIMALS

V. F. Kutsevlyak, V. I. Kutsevlyak,
E. A. Omelchenko*, A. S. Zabirnyk*,
I. V. Tsiganova

The study examined features of the dynamics of regeneration of bone defects of the mandible 16 Chinchilla rabbits. Administered autologous stromal cells derived from bone marrow in combination with kollapan in zone holey defect in an amount 100 thousand, 500 thousand, one million cells. It was established that the regeneration of bone directed mandible experimental animals with administration of 500 thousand stromal cells derived from bone marrow proceeds more favorably without focal areas of necrosis and sequestering compared to administration of 100 thousand and 1 million same stromal cells. Consequently, for restoring bone defect is advisable to use not more than 500 thousand stem cells from bone marrow.

Keywords: directed regeneration, autologous stem cells, bone marrow, collapan.

В последние годы повышенный интерес ученых и клиницистов к клеточной трансплантации во многом обусловлен активным изучением стволовых клеток (СК) как более перспективного клеточного материала для трансплантации

в регенеративной медицине [1, 2, 3]. Наиболее изучены мезенхимальные СК, выделенные из костного мозга, который содержит три основных типа клеток: эндотелиальные клетки, гемопоэтические СК, клетки стромы [4]. Методы идентификации,

культивирования, накопления клеточной массы и пересадки СК описаны в литературе, включая выделение линий гемопоэтических и мезенхимальных линий СК и детальный анализ [5, 6].

Цель работы — изучить в эксперименте регенеративные способности костной ткани в зависимости от количества введенных аутологичных СК костного мозга.

МАТЕРИАЛЫ И МЕТОДЫ

Аутологичные СК костного мозга получали из бедренной кости экспериментальных животных. Изучение процесса заживления костных дефектов размером 3×3 мм проведено на 16 кроликах породы Шиншилла. Для выполнения работы были использованы животные без внешних признаков заболевания, прошедшие карантинный режим в условиях вивария. Все животные находились на одинаковом пищевом рационе и проходили предоперационную подготовку в течение 12 ч до операции.

Манипуляции с животными проводили в соответствии с Конвенцией по защите животных, используемых в эксперименте и других научных целях (г. Страсбург, Франция, 1986). При операциях на животных использовали внутривенный тиопенталовый наркоз.

Основную группу составили 12 животных, 4 — контрольную. СК костного мозга в сочетании с коллаганом вводили в зону дырчатого дефекта нижней челюсти кроликов основной группы в количестве 100 тыс., 500 тыс., 1 млн. Забой животных производили на 42 и 90 сут. Выделяли фрагменты челюстей с зоной регенерата, фиксировали в формалине и заключали в парафиновые блоки. Гистологические препараты готовили из фрагментов нижних челюстей и окрашивали гематоксилином-эозином по Ван-Гизон.

Статистическую обработку проводили с помощью программного обеспечения Statistica 10.0 (StatSoft Inc., США).

РЕЗУЛЬТАТЫ И ИХ ОБСУЖДЕНИЕ

Динамика структуры регенерата кости после введения 100 тыс. аутологичных СК с коллаганом на 42 сут развивалась следующим образом. На гистотопограммах, согласно морфометрическим данным, из общей площади регенерата 5 % занимают некротические ткани, 35 % — грануляционная ткань, 28 % — остеоидная ткань, мелкопетлистая сеть костных трабекул — 32 % (рис. 1).

Микроскопически на 42 сут определялись весьма ограниченные участки некроза, отделенные зонами грануляционной ткани от полей из сети новообразованных костных балочек. На отдельных участках обнаруживались выраженные проявления остеогенеза с трансформацией

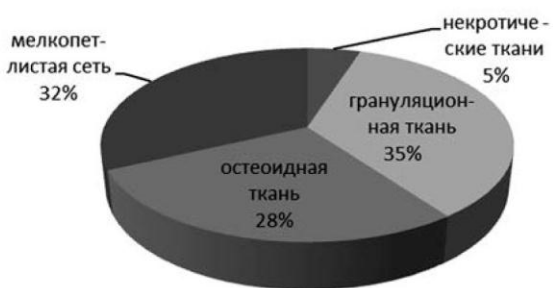


Рис. 1. Структура регенерата кости после введения 100 тыс. аутологичных СК с коллаганом на 42 сут

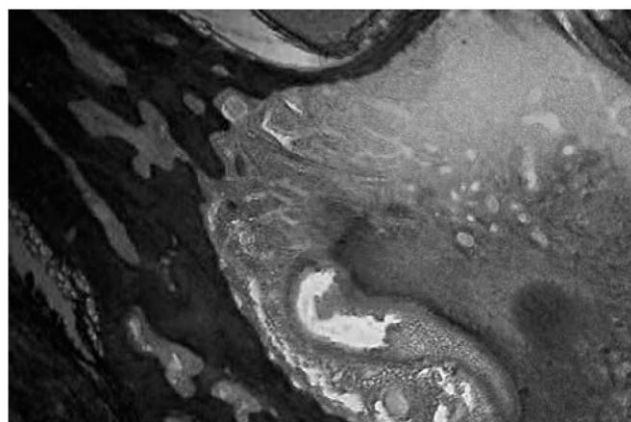


Рис. 2. Введение 100 тыс. СК из костного мозга с коллаганом на 42 сут. Выраженный остеогенез с трансформацией в мелкопетлистую сеть костных балочек. Окрашивание по Ван-Гизон $\times 100$

в мелкопетлистую сеть костных балочек. Фрагменты из компактной костной ткани в некоторых участках подвергались выраженному разрежению и срастались с полями новообразованных костных балочек по поверхности разряжения фрагментов (рис. 2).

Гистологические исследования на 42 сут свидетельствуют о том, что в структуре регенерата начинали преобладать дифференцированные компоненты, а узкие участки некротически измененной ткани определялись, скорее всего, как следствие недостаточного формирования микроциркуляторного русла.

На 90 сут после введения 100 тыс. аутологичных СК с коллаганом на гистотопограммах из общей площади регенерата 2,8 % занимали некротически измененные ткани, в основном в интермедиарной зоне, 32 % — остеоидная ткань, 30,2 % — мелкопетлистая сеть костных балочек, 23 % — крупнопетлистая сеть костных балочек, 12 % — грануляционная ткань (рис. 3).

Микроскопически на 90 сут обнаруживалось преобладание полей новообразованной костной ткани, за счет которой формировался компактный слой, хотя между этими полями и определялись небольшие участки некроза, а также подвергающиеся резорбции секвестры. На отдельных участках

определялись поля из крупнопетлистой сети костных балочек, четко ограниченные от прилегающей грануляционной ткани, богатой пучками коллагеновых волокон. В других участках, наряду с выраженным остеогенезом, обнаруживалась резорбция фрагментов костной ткани с образованием массивных внутрифрагментарных полостей (рис. 4).

На 90 сут гистологические исследования свидетельствуют об увеличении объема пролиферирующей ткани с преобладанием в составе регенерата остеогенных клеточных элементов.

На 42 сут после введения 500 тыс. аутологичных СК с коллапаном на гистотопограммах из общей площади перестраивающегося регенерата 1,5 % занимали участки некротически измененных тканей, клеточно-волокнистая ткань — 12 %, остеоидная ткань — 7 %, мелкопетлистая костная ткань — 36 %, крупнопетлистая костная ткань — 45 % (рис. 5).

Микроскопически на 42 сут процессы перестройки в зоне дефекта нижней челюсти имели выраженный характер. В зоне регенерата наблюдались периостальные наслоения по нижнему

краю челюсти. В альвеолярном отростке, в сравнении с предыдущим наблюдением, изменений не было выявлено. Периостальное костеобразование сопровождалось активной резорбцией костного вещества отломков и пролиферацией клеточных элементов. На 42 сут наблюдалось значительное увеличение клеточных элементов остеогенного характера за счет периостального остеообразования (рис. 6).

На 90 сут после введения 500 тыс. аутологичных СК с коллапаном на гистотопограммах обнаруживалась целостная структура из новообразованной костной ткани, в которой 38 % занимает мелкопетлистая сеть костных trabекул, 44 % — крупнопетлистая сеть костных trabекул, 18 % занимал кортикальный слой, который без четкой границы формировался из сети костных trabекул (рис. 7).

Микроскопически на 90 сут развитие остеогенеза имело более выраженный характер, что приводило к интенсивному костеобразованию и восстановлению целостности кости нижней челюсти, но с наличием тех компонентов (сеть мелкопетлистых и крупнопетлистых trabekул), которые будут подвергаться окончательной перестройке еще на протяжении длительного периода (рис. 8).



Рис. 3. Структура регенерата кости после введения 100 тыс. аутологичных СК с коллапаном на 90 сут

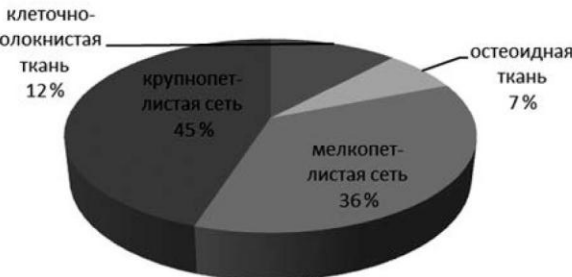


Рис. 5. Структура регенерата кости после введения 500 тыс. аутологичных СК с коллапаном на 42 сут

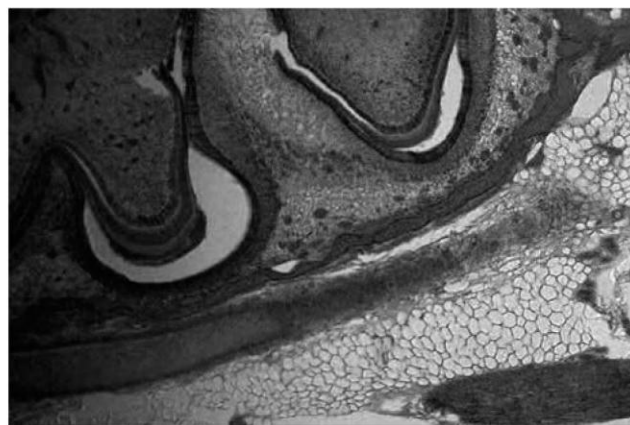


Рис. 4. Введение 100 тыс. СК из костного мозга с коллапаном на 90 сут. Выраженный остеогенез с участками резорбции фрагментов костной ткани и образованием внутрифрагментарных полостей с трансформацией в мелкопетлистую сеть костных балочек. Формирование крупнопетлистой сети trabekул, четко ограниченных плотно прилегающей грануляционной тканью в зоне дефекта. Окрашивание по Ван-Гизон $\times 100$

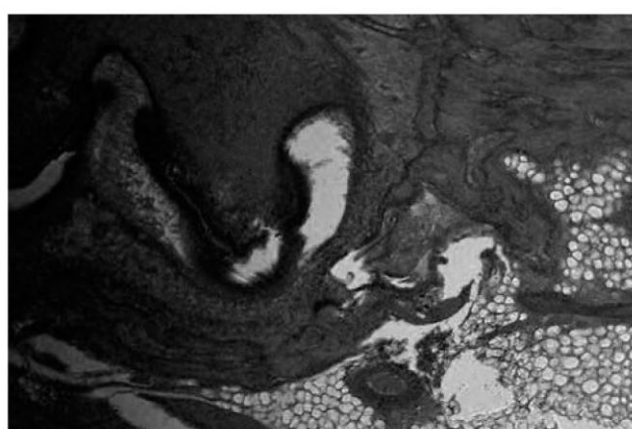


Рис. 6. Введение 500 тыс. СК из костного мозга с коллапаном на 42 сут. Активная резорбция костных отломков с пролиферацией клеточных элементов в зоне регенерата. Окрашивание по Ван-Гизон $\times 100$

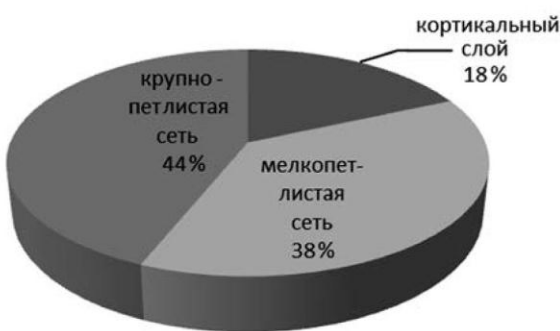


Рис. 7. Структура регенерата кости после введения 500 тыс. аутологичных СК с коллапаном на 90 сут

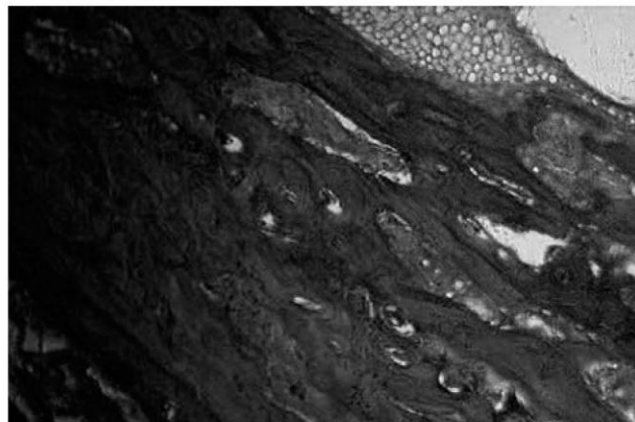


Рис. 8. Введение 500 тыс. СК из костного мозга с коллапаном на 90 сут. Интенсивное остеообразование за счет формирования сети мелкопетлистых и крупнопетлистых трабекул в зоне регенерата. Окрашивание по Ван-Гизон $\times 100$

Введение аутологичных СК из костного мозга в количестве 500 тыс. в сочетании с коллапаном на 90 сут в зоне регенерата создавали условия для более интенсивного развития остеогенеза и на этой основе приводили к интенсификации пролиферативных процессов и процессов дифференциации по остеогенному типу.

На 42 сут после введения 1 млн аутологичных СК с коллапаном на гистотопограммах согласно морфометрическим данным, из общей площади регенерата 6 % занимали некротически измененные ткани, грануляционная ткань — 4 %, крупнопетлистая сеть костных трабекул — 40 %, остеоидная ткань — 30 %, бесклеточное поле — 20 %, заполненное гомогенными эозинофильными массами (рис. 9).

Микроскопически на 42 сут определялись отдельные зоны некроза и секвестры, ограниченные грануляционной тканью и инфильтрированные лейкоцитами. За грануляционной тканью на сохранившихся участках компактной костной ткани обнаруживались поля новообразованной костной ткани. Местами отчетливо определялись фрагменты из компактной костной ткани частично с безостеоцитными зонами, поверхность

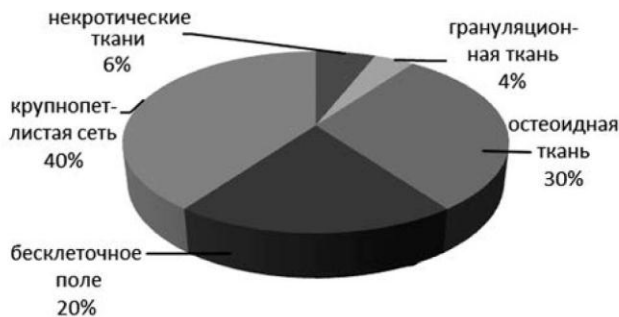


Рис. 9. Структура регенерата кости после введения 1 млн аутологичных СК с коллапаном на 42 сут

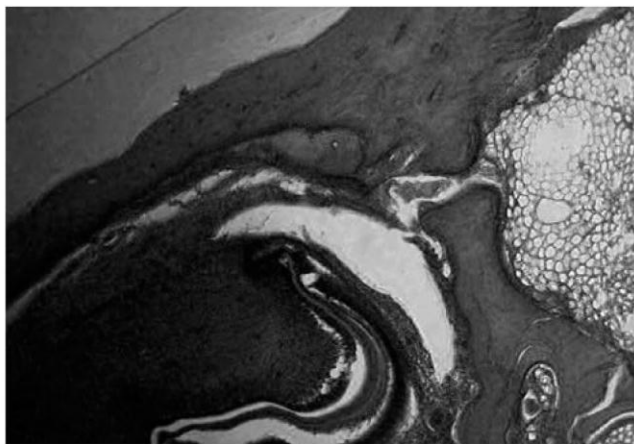


Рис. 10. Введение 1 млн СК из костного мозга с коллапаном на 42 сут. Обширные поля грануляционной ткани с участками некроза и секвестрами инфильтрированными лейкоцитами. Формирование полей новообразованной костной ткани в зоне регенерата. Окрашивание по Ван-Гизон $\times 100$

которых была сращена мелкопетлистая сетью новообразованных костных балочек (рис. 10).

На 42 сут гистологические исследования свидетельствуют о замедлении восстановительного процесса, связанного с уменьшением объема пролиферирующей ткани и неравномерным распределением клеточных элементов в зоне регенерата по сравнению с этим же сроком при введении дозы 500 тыс. СК.

На 90 сут после введения 1 млн аутологичных СК с коллапаном на гистотопограммах из общей площади регенерата 1 % занимают некротические ткани, клеточно-волоснистая ткань — 15 %, остеоидная ткань — 32 %, мелкопетлистая сеть костных трабекул — 35 %, крупнопетлистая сеть костных трабекул — 12 % (рис. 11).

Микроскопически на 90 сут отмечались незначительные деструктивные изменения и резорбция альвеолярного отростка в области корней зуба. На отдельных участках наблюдалась активная пролиферация камбимальных клеточных элементов периостальной зоны и дифференцировка их в остеобласты. В структуре регенерата определялись участки из мелкопетлистой и крупнопетлистой сети костных трабекул, а также хорошо васкуляризованная

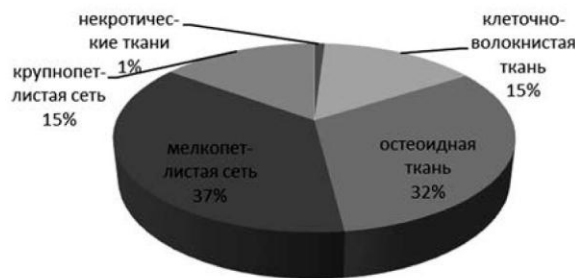


Рис. 11. Структури регенерата кости після введення 1 млн аутологічних СК з коллапаном на 90 сут

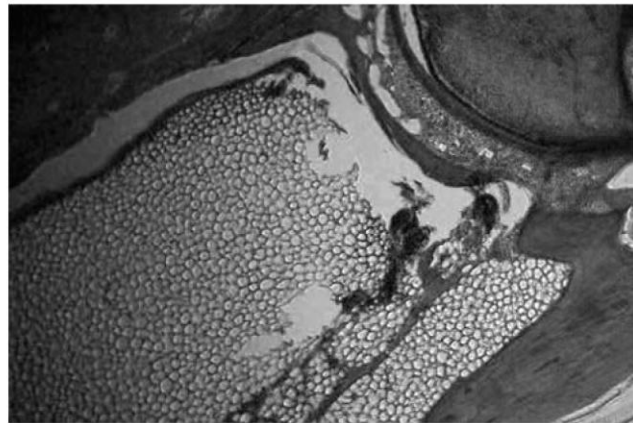


Рис. 12. Введені 1 млн СК з костного мозгу з коллапаном на 90 сут. Активна проліферація клеточних елементів периостальній зони і дифференціювання їх в остеобласти. Формування сітки костних трабекул і полій клеточно-волокнистої ткани з активним ангіогенезом. Окрашивання по Ван-Гизон $\times 100$

клеточно-волокниста ткань, що свідчилось про об інтенсифікації ангіогенеза (рис. 12).

Следовательно, на 90 сут СК в дозі 1 млн в сочтании с биоматериалом коллапаном оказы-

вали существенное влияние на структурно-функциональные особенности клеточных элементов регенерата, их распределение и взаимоотношение с межклеточным веществом, что, в свою очередь, определяло формирование тканевых структур и темпы восстановительных процессов.

ВЫВОДЫ

На основании сравнительного анализа reparatивных процессов костной ткани нижней челюсти кроликов при введении 500 тыс. аутологичных СК из костного мозга уже на 42 сут наблюдалось значительное увеличение клеточных элементов остеогенного характера за счет периостального костеобразования, по сравнению со 100 тыс. аутологичных СК из костного мозга, а также отсутствие зон некроза и секвестров, ограниченных грануляционной тканью и инфильтрированных лейкоцитами при введении 1 млн аутологичных СК из костного мозга.

К 90 сут после введения 500 тыс. аутологичных СК из костного мозга развитие остеогенеза имело наиболее выраженный характер, с интенсивным костеобразованием и восстановлением целостности кости нижней челюсти, с наличием сети мелкопетлистых и крупнопетлистых трабекул, по сравнению с остальными группами.

Наиболее целесообразным и перспективным для восстановления костных дефектов размерами 3×3 мм является введение аутологичных СК из костного мозга в количестве 500 тыс. в сочетании с коллапаном, так как это создает благоприятные условия для более интенсивного развития остеогенеза, интенсификации пролиферативных процессов и процессов дифференциации по остеогенному типу.

СПИСОК ИСПОЛЬЗОВАННЫХ ИСТОЧНИКОВ

1. Воложин А. И. Использование мезенхимальных стволовых клеток для активации reparatивных процессов костной ткани челюсти в эксперименте / А. И. Воложин, А. Ю. Васильев, Н. Н. Мальгинов // Стоматология. — 2010. — № 1. — С. 10–14.
2. Использование мезенхимальных стволовых клеток для восстановления межкорневых перегородок при хроническом пародонтите / Н. А. Боброва, Л. Я. Богашова, И. П. Ярынич-Бучинская [и др.] // Журнал АМН України. — 2010. — № 16. — С. 27–28.
3. Клеточные технологии в пародонтологии / А. И. Грудянов, В. Л. Зорин, А. И. Зорина, И. И. Степанова // Стоматология. — 2009. — № 1. — С. 71–73.
4. Оцінка впливу аутологічних клітинних культур на відновлення дегенеративно пошкодженого сухожилля в експерименті / О. О. Коструб, В. І. Грищенко, Р. І. Блонський, О. І. Гончарук // Вісник ортопедії та протезування. — 2011. — № 2. — С. 10–12.
5. Стромальные клетки костного мозга, жировой ткани и кожи человека в ходе экспансии, иммунофенотип и дифференцiovочный потенциал мезенхимальных стволовых клеток / А. Ю. Петренко, Ю. А. Петренко, Н. Г. Скоробогатова [и др.] // Трансплантиология. — 2008. — Т. 10, № 1. — С. 84–86.
6. Differentiation of rodent bone marrow mesenchymal stem cells into intervertebral disk-like cells following coculture with rat disk tissue / W. Aiqun, A. Sylvia, H. T. Chung [et al] // Tissue Engineering Part A. — 2009. — Vol. 15 (9). — P. 2581–2595.